

دوز و زمان مناسب تیمار با وین بلاستین جهت القاء آنیوپلوبئیدی در سلول های مغز استخوان موش نر نژاد c Balb/c با استفاده از آزمون میکرونوکلئوس

امیر محمد ملوندی^۱، فرهنگ خداد^{۲*}، علی مقیمی^۱
چکیده

هدف
امروزه آنیوپلوبئیدی به عنوان یکی از دلایل اصلی ایجاد سرطان در انسان، شناخته می شود. در حال حاضر، از وین بلاستین به عنوان متوقف کننده تشکیل دوک تقسیم در سلول های در حال تقسیم، برای درمان انواعی از سرطان استفاده می شود. در عین حال وین بلاستین از دسته آلالالوئید های وینکا (از جمله وین کریستین و ...)، به شمار می رود که تمامی اعضای این گروه، به عنوان کارسینوتئن های غیرجهش زا عمل می کنند. مطالعه نحوه فعالیت وین بلاستین (و مقاومت در برابر آن) و ارتباط آنیوپلوبئیدی و سرطان از جمله زمینه های فعال سرطان شناسی محسوب می شود.

مواد و روش کار

در این پژوهش برای بدست آوردن دوز و زمان مناسب جهت القاء حداکثر آنیوپلوبئیدی بدون جلوگیری از تقسیم سلولی در سلول های مغز استخوان موش های نر نژاد c Balb/c (به وسیله آزمون میکرونوکلئوس، دوز های ۱، ۲، ۳ و ۵ میلی گرم به ازای هر کیلو گرم وزن در زمان های ۶، ۱۸، ۲۴ و ۳۰ ساعت پس از تیمار مورد آزمایش قرار گرفتند).

نتایج

پس از بررسی نتایج، داده ها نشان دهنده بیشترین فراوانی آنیوپلوبئیدی القایی در دوز ۲ میلی گرم به ازای هر کیلو گرم وزن، در زمان ۲۴ ساعت پس از تیمار بودند. در این دوز از وین بلاستین و زمان تیمار انجام شده فراوانی میکرونوکلئوس القایی به حدوداً پنج برابر کنترل افزایش یافت.

نتیجه گیری

بر اساس مطالعه انجام گرفته و با بدست آوردن دوز و زمان مناسب تیمار با وین بلاستین، می توان مدل مناسبی جهت بررسی مکانیسم ایجاد سرطان بر اساس آنیوپلوبئیدی در موش ارائه نمود و علاوه بر آن، می توان به بررسی روش های درمان سرطان در مطالعات بعدی پرداخت.

کلمات کلیدی: آزمون میکرونوکلئوس، آنیوپلوبئیدی، سلول مغز استخوان موش، وین بلاستین.

References

- Jawetz E, Melnick JL, Adelberg EA. Review of Medical Microbiology, 17th ed. California: Appleton & Lange; 1987. 326-32.
- Frey D, Oldfield R, Bridger CR. Color Atlas of Pathogenic Fungi. Chicago: Year Book Medical Pub; 1979. 27, 31, 32, 17
- Saradhi S, Aman G, McEachen RC. Phytopharmaceuticals, part I: Antifungal activity of selected Iranian and Canadian plants. *Pharmacol Biol* 1998; 36: 189-199.
- Shattock A, et al. Volatile constituents of *Zizaniopsis miliacea*. *J Essent Oil Res* 1999; 11: 75-89.
- مرکز تحقیقات بیوتکنولوژی مهندسی یافت دانشکده علوم پایه، دانشگاه فردوسی مشهد Haddad@um.ac.ir
- Farnaq MO, Gupta V. Essential oil of *Zizaniopsis miliacea*. *J Essent Oil Res* 1999; 11: 75-89.
- Duke JA. CRC Handbook of Medicinal Herbs. Florida: CRC Press; 1985.
- Kaufman BW, Roberts GD. Pictorial Laboratory Mycology, 2nd ed. William & Wilkins; 1986.
- Parr R. Encyclopedia of Biomedical Technology, USA: Thieme; 1994; 1: 111-213.
- Gazzola AK. Remington's Pharmaceutical Science, 21st ed. London: Mack Publishing Co; 1996.

مقدمه

سرطان به عنوان یک بیماری با اساس ژنتیکی یکی از اصلی ترین نگرانی های جوامع بشری است. سالانه درصد بالایی از مرگ و میر در جوامع مختلف بر اثر سرطان، گزارش می شود. در سال ۲۰۰۴ بیش از ۱۵ میلیون نفر از افراد بالای ۱۸ سال در ایالات متحده، به انواعی از سرطان مبتلا بوده اند. امروزه درباره منشا شکل گیری سرطان موارد مختلفی مطرح می شود که از این میان نقش ناهنجاری های کروموزومی در ایجاد و توسعه سرطان غیر قابل انکار است (۳-۱).

توزیع مساوی ماده ژنتیکی، بین دو سلول دختر، هدف نهایی در تقسیم میتوز است. خطاهای در فرایند تفکیک کروموزومی باعث ایجاد سلول های ناهنجاری می شود که از نظر تعداد کروموزوم ها دچار اختلال می باشند (۶-۴). افزایش یا کاهش یک کروموزوم یا بیشتر به صورت کامل، فرایندی است که به نام آنیوپلوئید شناخته می شود. یک سلول انسانی در حالت معمول ۲۳ جفت (۴۶ عدد) کروموزوم کامل و سالم دارد. سلول انسانی که عدد کروموزوم های آن متفاوت با حالت عادی باشد آنیوپلوئید محسوب می شود (۶,۵).

نقش آنیوپلوئیدی در زندگی روزمره انسان بسیار وسیع و گسترده است. آنیوپلوئیدی مسؤول بسیاری از سقط های جنین، به دنیا آمدن نوزادان ناهنجار و در صورت وقوع در سلول های سوماتیک، دلیل ایجاد انواعی از سرطان هاست. مطالعات بر ارتباط رشته های دوک و ساختار کینه توکری کروموزوم ها و نقش آن در القای آنیوپلوئیدی به دلیل ارتباط آن با ایجاد سرطان منجر، به حصول نتایج مهمی شده است (۷).

در حقیقت، تعداد غیرطبیعی کروموزوم ها بیش از ۱۰۰ سال است که در سلول های سرطانی انسانی شناخته شده است. بیان این شناخت به فرضیه بوواری مبنی بر ایجاد

سرطان به وسیله آنیوپلوئیدی باز می گردد. در این ارتباط عقیده بر این است که آنیوپلوئیدی مقدم بر ایجاد سرطان است (۸).

ایجاد ناهنجاری تعدادی کروموزومی در سلول های سوماتیک سهم بسیار زیادی در ایجاد سرطان، به ویژه در سرطان بافت های جامد دارد. امروزه نقش موثر آنیوپلوئیدی در ایجاد سرطان های کولون و انواعی از سرطان خون به اثبات رسیده است (۹-۱۱). در همین راستا مقالات زیادی ارتباط بین آنیوپلوئیدی و القای سرطان را به طور مفصل توضیح داده اند (۱۲,۱۳).

مواد سرطان زا (کارسینوژن ها) غیر جهش زا با القای آنیوپلوئیدی در سلول ایجاد تحول می کنند. نتیجه این تحول به هم خوردن تعادل صیدها ژنی است که محصولات آنها در تفکیک کروموزومی، سنتز DNA و یا تعمیر آن، دخالت دارند. چنین تغییراتی آسیب های جدی در روند های کنترل تقسیم سلولی ایجاد خواهد کرد و سلول، توانایی تقسیم بدون کنترل را خواهد یافت. بنابراین آنیوپلوئیدی منبعی است که در نتیجه آن سلول های با برتری تقسیم، ایجاد می شوند (۱۴,۱۵).

از جمله روش های درمانی که امروزه برای انواعی از سرطان ها استفاده می شود، شیمی درمانی با کمک دسته آلکالوئید های وینکا (از جمله وین کریستین و...) است (۱۶). وین بلاستین به عنوان عضوی موثر از این دسته، با توجه به کم بودن درصد سم و تاثیر در دوز های بسیار پایین، امروزه مورد استفاده وسیع قرار می گیرد. این مواد به طور کلی به عنوان متوقف کننده های تشکیل دوک میتوزی در سلول های در حال تقسیم شناخته شده اند. وین بلاستین با تغییر فوق ساختاری در اتصال کینوتوكور- میکروتوبول و همچنین سانتروزوم در سلول های در حال تقسیم، باعث توقف دوک میتوزی می شود (۱۷). همچنین وین بلاستین توانایی مهار فعالیت میکروتوبول ها

گروه فیزیولوژی فارماکولوژی دانشگاه علوم پزشکی مشهد تهیه شدند و جهت تطابق با محیط به مدت ۷ تا ۱۰ روز در حیوانخانه با شرایط کنترل شده نگهداری شدند.

تیمار: در قسمت اول آزمایش جهت تعیین دوز مناسب وین بلاستین، به گروه های چهارتایی از موش ها، دوزهای ۱، ۲، ۳ و ۵ میلی گرم به ازای هر کیلوگرم وزن از وین بلاستین (Gedeon Richter LTD, Hungary) به صورت داخل صفاقی تزریق گردید. پس از گذشت شش ساعت از زمان تزریق، نمونه برداری از مغز استخوان انجام شد. جهت تعیین زمان مناسب تیمار با دوز به دست آمده از قسمت قبل، پس از تیمار گروه های چهارتایی از موشهای نمونه برداری در زمان های ۱۸، ۲۴ و ۳۰ ساعت پس از تیمار، از مغز استخوان صورت گرفت.

نمونه برداری از مغز استخوان: جهت نمونه برداری از مغز استخوان برای انجام آزمون میکرونوکلئوس (Micronucleus Test) از روش پیشنهادی Hayashi و Schmid استفاده شد (۲۱، ۲۰). به طور خلاصه، پس از کشتن موش ها با کلروفرم، هر دو استخوان ران از بدن جدا و بعد از جدا سازی کامل ماهیچه های اطراف، مغز استخوان به کمک سرنگ ۲ میلی لیتری استخراج شد. از سلول های به دست آمده از هر استخوان به طور جداگانه پس از سانتریفوژ گسترش های سلولی تهیه گردید. تثیت سلول ها در الکل ۹۰٪ انجام و سپس به شیوه گیمسا-مای گرانوالد رنگ آمیزی صورت گرفت.

شمارش: شمارش سلولی توسط میکروسکوپ نوری (Olympus BH2) با بزرگنمایی ۱۰۰۰ انجام شد. در هر لام تعداد حداقل ۱۰۰۰ سلول پلی کروماتیک (PCE) شمارش شد. در هر شمارش تعداد سلول های حاوی میکرونوکلئوس (PCEMN) تعیین شد. در این تعداد سلول شمارش شده، تعداد سلولهای متوقف در میتوز جهت محاسبه شاخص میتوزی (Mitotic Index)، به طور اختصار MI، تعیین گردید. بررسی آماری: مقایسه آماری داده ها توسط نرم افزار Minitab انجام شد. در این بررسی گروه های تیمار شده با

را در اینترفاز دارا می باشد (۱۸). شیمی درمانی روش مناسب در درمان سرطان ها، و یا حداقل افزایش طول عمر فرد مبتلا است. اگرچه، در افراد تحت درمان، مقاومت به این داروها و یا بدحیمی ثانویه به دلیل آنیپلوبیتدی القایی در این روش درمانی از نگرانی های مهم به شمار می رود (۱۹). وین بلاستین در بحث سرطان شناسی و درمان آن دارای دو نقش متضاد است. در حقیقت وین بلاستین به عنوان کارسینوتئنی غیر جهش زا عمل می کند. به عبارت دیگر عدم ایجاد دوک سالم، ناهنجاری تعدادی (آنیپلوبیتدی) در سایر سلول های بدن فرد تحت درمان به وجود آورده و این امر همچنان که بحث شد عاملی مهم برای ایجاد سرطان می باشد (۲). وین بلاستین در دوزهای بسیار پایین، مهار کننده تقسیم سلولی است. همین امر، ضرورت بررسی دقیق اثرات ژنتوکسیک مواد شیمیایی ضد سرطان، از جمله وین بلاستین را نشان می دهد.

با توجه به این توضیح، در تحقیق حاضر، جهت بسترسازی مناسب برای کارهای آنی، تلاش صورت گرفته است و هدف، تعیین دوز مناسبی از وین بلاستین بود تا در عین حال که القاکننده ناهنجاری تعدادی است، بر فرایند تقسیم سلولی تاثیر متوقف کننده ای نداشته باشد. به عبارت دیگر هدف این تحقیق، ارائه مدل مناسبی از القای سرطان به واسطه آنیپلوبیتدی جهت مطالعات بیشتر سرطان و روش های درمانی است تا در صورت نیاز به بررسی آن در محیط *in vivo*، استفاده شود. به این منظور دوزهای متفاوت از وین بلاستین در زمان های مختلف مورد آزمایش قرار گرفت و در پایان پس از بررسی داده های آزمایشات انجام شده، دوز و زمان مناسب برای هدف ذکر شده، انتخاب شد.

مواد و روش کار

حیوان آزمایشگاهی مورد استفاده: در این تحقیق از موشهای سوری نر نژاد c^{balb} که بین ۳-۵ هفته عمر داشتند، استفاده شد. موش ها از مرکز پرورش و نگهداری حیوانات آزمایشگاهی

در این پژوهش، بر اساس ساختار و عملکرد این ماده با توجه به اثر و ارتباط آنیوپلوبئیدی و سلطان برای ایجاد بنیان برای فعالیت‌های آتی به گونه‌ای عمل گردید که با تعیین دوز مورد نیاز در سلول‌های مغز استخوان موش‌های مورد آزمایش، به جای توقف در میتوز خداکثرا ناهنجاری تعدادی ممکن، القا گردد. به عبارت دیگر زمان و دوزی مورد احتیاج بودند که با از نظم خارج کردن فعالیت دوک میتوزی، بدون ممانعت از تقسیم، باعث القا ناهنجاری تعدادی (آنیوپلوبئیدی) در سلول‌های دختری گردند به گونه‌ای که به راحتی توسط آزمون میکرونوکلئوس قابل بررسی باشند. بدیهی است که توقف میتوزی القا شده با وین بلاستین نمی‌تواند اثر قابل بررسی و زود هنگامی در القای آنیوپلوبئیدی داشته باشد. توقف طولانی مدت سلول‌های در حال تقسیم در میتوز در نتیجه فعالیت داروهای ممانعت کننده تشکیل رشته‌های دوک، به دلیل ممانعت از انجام فعالیت‌های حیاتی سلول از جمله نسخه برداری و ترجمه، با فعال کردن مسیرهای آپوتوزیس سبب از بین رفتن سلول می‌گردد (۲۳). نتیجه این که احتمال از دست دادن سلول‌های صدمه دیده در این شرایط بسیار زیاد خواهد بود.

تعیین دوز مناسب جهت القای آنیوپلوبئیدی

برای یافتن دوز مناسب به منظور القا ناهنجاری تعدادی بدون توقف دوک میتوزی، دوزهای ۱، ۲، ۳، ۵ میلی گرم به ازای هر کیلو گرم وزن بدن مورد آزمایش قرار گرفت که نتایج به دست آمده در جدول و نمودار ۱ آمده است.

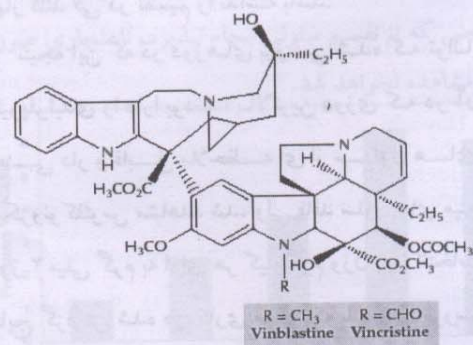
فراوانی PCEMN در گروه کنترل برابر ۱/۱۲٪ محاسبه گردید که این میزان در محدوده فراوانی به دست آمده از مطالعه‌ای که به هدف دیگری انجام شده بود قرار دارد (۲۴، ۲۵). اندازه نسبتاً بزرگ میکرونوکلئوس‌های القایی بعد از تیمار با وین بلاستین، نشان دهنده خاصیت آنیوپلوبئیدی وین بلاستین است. توانایی آنیوپلوبئیدی وین بلاستین در مطالعات متعددی به اثبات رسیده است (۲۶-۲۸).

کنترل و همین طور با یکدیگر مقایسه شدند. در جداول موجود، تفاوت آماری گروه‌های تیمار شده با کنترل و با یکدیگر با حروف a و b و c مشخص شده است. وجود حروف یکسان به معنی عدم وجود تفاوت معنی دار بین گروه‌ها است.

نتایج

ساختار و عمل وین بلاستین

وین بلاستین ($C_{46}H_{58}N_4O_9$) با وزن مولکولی $810/947 \text{ g/mol}$ از دسته آلکالوئید‌های وینکا و دارای استفاده در درمان انواعی از سرطان است (شکل ۱). این ماده برای اولین بار توسط رابرت نوبل و کارلس توماس بیر از گیاه استخراج گردید (۱۶). این ماده با جلوگیری از فعالیت تکثیری به عنوان متوقف کننده میتوزی شناخته شده است. همچنین ثابت شده است در غلظت‌های پایین ($6-1 \text{ nM}$) فعالیت میتوزی را بدون دپولیمریزه کردن شبکه میکروتوبولی بین متفااز تا آنافاز متوقف می‌کند. این داروی قدرتمند در غلظت پایین می‌تواند فعالیت رشد و کوتاه شدن انتهای میکروتوبول‌ها را متوقف کرده و زمان تقسیم را افزایش دهد. در حقیقت وین بلاستین امروزه به عنوان یک متوقف کننده قوی میتوز شناخته می‌شود (۱۷).



شکل ۱: ساختار وین بلاستین (۲۲).

توقف سلوی در میتوز است که با افزایش شاخص میتوزی (MI) در این دوزها قابل تفسیر است. بررسی فراوانی سلول های متوقف در تقسیم نشان داد که در دوز ۱ میلی گرم به ازای هر کیلو گرم وزن بدن هیچ سلول میتوزی وجود ندارد، اما در دوز های ۳ و ۵ میلی گرم در هر کیلو گرم وزن بدن، این سلول ها با فراوانی های معنی داری نسبت به کنترل مشاهده گردید (جدول ۱). نسبت فراوانی سلول های حاوی میکرونوکلتوس (PCEMN) به MI به سمت دوزهای ۳ و ۵ mg/kg برابر با ۰/۳۹^a و ۰/۹۸^b است. اگرچه از نظر آماری تفاوت معنی دار نیست اما داده ها نمایان کننده کاهش فراوانی PCEMN و افزایش فراوانی MI در دوز ۵ نسبت به دوز ۳ می باشند. این مساله را می توان به متوقف شدن درصد بیشتر از سلول ها در مرحله تقسیم نسبت داد (۱). دو روش به نظر می رسد اگر از دوز های بالاتری استفاده می شود، کاهش در فراوانی PCEMN و افزایش در فراوانی MI به شکل معنی دار تری قابل ارائه می بود. اگرچه بیشترین درصد فراوانی PCEMN را دوز ۳ mg/kg دارا می باشد، اما به دلیل این که در این دوز بالاترین فراوانی سلول های میتوزی نیز مشاهده می گردد، با توجه به هدف بررسی این دوز از وین بلاستین جهت بررسی بعدی انتخاب نگردید. همان طور که قبل ذکر شد به دلیل یافتن مدل مناسب جهت القای آنیپلوبوئیدی، هدف، تعیین دوزی از وین بلاستین است که اثر مهار کننده گی در تقسیم را نداشته باشد.

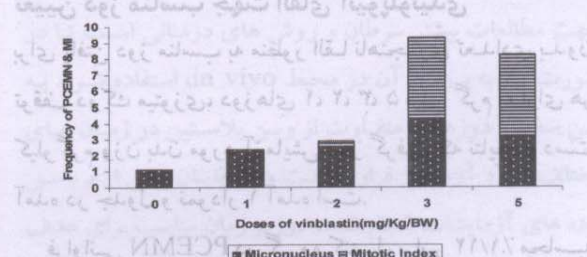
نتیجه این که در دوزهای بررسی شده که توانایی القای آنیپلوبوئیدی را دارا بودند، بالاترین دوزی که در آن فراوانی معنی دار و قابل ملاحظه ای از سلول های حاوی میکرونوکلتوس مشاهده شد، ولی قادر سلول های میتوزی بود، دوز ۲ میلی گرم به ازای هر کیلو گرم وزن بدن انتخاب گردید. نتایج گزارش شده در کاری مشابه که با هدف بررسی اثرات کلاستوژنیک وین بلاستین صورت گرفته است، تایید کننده این انتخاب است (۳۰).

انتظار می رود که این میکرونوکلتوس ها به دلیل داشتن کروموزوم های کامل، اندازه نسبتاً درشتی را دارا باشند (۲۹). تیمار با دوزهای ۱، ۲، ۳ و ۵ میلی گرم به ازای هر کیلو گرم وزن بدن نشان داد که در تمامی دوز های استفاده شده، به جز پایین ترین آنها، تعداد میکرونوکلتوس های القاء شده توسط وین بلاستین، در مقایسه با گروه کنترل، افزایش معنی داری داشته است (جدول ۱).

جدول ۱: تغییرات در فراوانی PCEMN و MI در دوزهای متفاوت از وین بلاستین.

PCEMN/MI	درصد فراوانی MI	درصد فراوانی PCEMN	دوز وین بلاستین mg/kg/Bw
*	*	۱/۱۲ ^a	*
*	*	۲/۳۴ ^{a,b}	۱
۰/۷۴ ^a	۰/۳۹ ^a	۲/۰۵ ^b	۲
۰/۸۶	۰/۹۸ ^b	۴/۳۰ ^c	۳
		۳/۱۰ ^{b,c}	۴
		۵/۱۴ ^b	۵

a,b,c نشان دهنده تفاوت معنی دار فراوانی PCEMN و MI در مقایسه بین گروهها و کنترل است ($p < 0.01$). این فراوانی تا دوز ۳ میلی گرم در هر کیلو گرم وزن بدن PCEMN وابسته به دوز را نشان می دهد. بین فراوانی دوزهای ۱ و ۲ و همچنین ۳ و ۵ تفاوت معنی داری مشاهده نگردید ($p > 0.01$).



نمودار ۱: مقایسه درصد فراوانی PCEMN و MI پس از تیمار با دوزهای مختلفی از وین بلاستین. با توجه به توانایی وین بلاستین در صدمه زدن به دوک تقسیم، انتظار می رود با افزایش دوز، فراوانی PCEMN افزایش وابسته به دوز داشته باشد. عدم وجود تفاوت معنی دار بین دوز های ۳ و ۵ میلی گرم در هر کیلو گرم وزن بدن به دلیل

میکرونوکلتوس همان هسته‌ی کوچکی است که از قطعات کروموزومی و یا کروموزوم جامانده از مهاجرت با سایر کروموزوم‌ها در آنافاز تقسیم تشکیل شده است (۲۰). بنابراین افزایش وابسته به زمان فراوانی میکرونوکلتوس‌های ناشی از القای آنیوپلوبیتدی قابل انتظار است. بین نتایج به دست آمده در دوره‌های تیمار ۶، ۱۸ و ۳۰ ساعت پس از تیمار، اختلاف معنی داری مشاهده نگردید.

بیشترین القای آنیوپلوبیتدی که بر اساس فراوانی بالای میکرونوکلتوس مشخص می‌شود در زمان ۲۴ ساعت پس از تیمار به دست آمد. کاهش فراوانی PCEMN بعد از ۲۴ ساعت از تیمار در مطالعات دیگر نیز مشاهده شده است (۳۲,۳۱).

کاهش معنی دار در فراوانی PCEMN ۳۰ ساعت پس از تیمار در مقایسه با ۲۴ ساعت رامی توان به دلایل زیر دانست:

ادغام تصادفی میکرونوکلتوس به یکی از هسته‌های اصلی (۳۳)، تجزیه میکرونوکلتوس به وسیله نوکلئازهای سیتوپلاسمی (۳۴)، جایگزینی و ترمیم مخزن توبولینی و بازسازی دوک تقسیم مورد نیاز جهت تفکیک صحیح کروموزومی در تقسیم با انجام نسخه برداری (۳۵)، فعالیت مکانیسم‌های ایست بازرسی جهت توقف تقسیم سلول‌های ناهنجار و القای آپوپتوزس در سلول‌های ناتوان در تعییر (۳۶).

نتایج به دست آمده در این پژوهش ارائه کننده مدل مناسبی ساختاری و تعدادی وابسته به انجام تقسیمات سلولی می‌باشد.

جهت بررسی آنیوپلوبیتدی به عنوان یکی از اصلی ترین مکانیسم‌های ایجاد سرطان می‌باشد. جهت بررسی مکانیسم ایجاد سرطان و یافتن مناسب‌ترین استراتژی برای مقابله و یا درمان آن در

موش، که نتایج آن مورد استفاده در زندگی انسانی نیز خواهد بود، تحقیق حاضر نشان می‌دهد که دوز ۲ mg/kg از وین بلستین در

زمان ۲۴ ساعت پس از تیمار بالاترین فراوانی آنیوپلوبیتدی را به دنبال خواهد داشت. همچنین این نتایج بار دیگر نشان دهنده کاربرد آزمون میکرونوکلتوس در بررسی های سیتوژنتیکی می‌باشد.

تعیین زمان مناسب برای القای آنیوپلوبیتدی
به منظور یافتن زمان مناسب جهت القای بیشترین فراوانی آنیوپلوبیتدی ۴ گروه به ترتیب بعد از تیمارهای ۶، ۱۸، ۲۴ و ۳۰ ساعت، به وسیله دوز انتخاب شده ۲ میلی گرم به ازای هر کیلو گرم وزن بدن، مورد نمونه برداری مغز استخوان قرار گرفتند. نتایج به دست آمده در جدول و نمودار ۲ آمده است.

جدول ۲: میانگین درصد فراوانی PCEMN در زمان‌های مختلف بعد از تیمار با ۲ میلی گرم به ازای هر کیلو گرم وزن با وین بلستین:

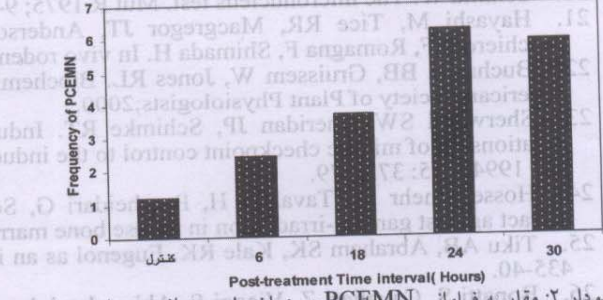
زمان (ساعت)	میانگین در صد فراوانی PCEMN
کنترل	۱/۲۲ ^a
۶	۲/۴۴ ^b
۱۸	۳/۶۶ ^b
۲۴	۷/۲۴ ^c
۳۰	۵/۸۷ ^b

^{a,b,c} نشان دهنده تفاوت معنی دار فراوانی PCEMN در مقایسه بین گروهها و کنترل است ($p < 0.01$).

بحث و نتیجه گیری

فراءانی میکرونوکلتوس در زمان‌های مورد بررسی فراوانی وابسته به زمان معنی داری را تا ۲۴ ساعت پس از تیمار در مقایسه با کنترل نشان دادند. افزایش وابسته به زمان در فراءانی میکرونوکلتوس به دلیل انجام تقسیمات سلولی است. مشاهده

میکرونوکلتوس ناشی از ناهنجاری‌های کروموزومی اعم از ساختاری و تعدادی وابسته به انجام تقسیمات سلولی می‌باشد. به این معنی که تا تقسیم سلولی انعام نپذیرد، ناهنجاری صورت پذیرفته مشاهده نخواهد شد.



نمودار ۲: مقایسه فراءانی PCEMN در زمان‌های مختلف بعد از تیمار. The graphs show the frequency of PCEMN in different time intervals after treatment. The y-axis represents the frequency of PCEMN (0 to 7) and the x-axis represents the post-treatment time interval in hours (6, 18, 24, 30). The bars show that the frequency increases significantly between 6 and 18 hours, reaches a peak at 24 hours, and then slightly decreases at 30 hours.

مهندسی بافت به دلیل فراهم کردن محلی مناسب جهت انجام
آزمایشات این پژوهش صمیمانه تشکر و قدردانی به عمل
آورند.

تشکر و قدردانی

نویسنده‌گان به این وسیله بر خود لازم می‌دانند از آقای
دکترا حمید رضا بهرامی رئیس مرکز تحقیقات بیوتکنولوژی و

References

1. Baggetto LG, Gambrelle J, Dayan G, Labialle S, Barakat S, Michaud M, Grange JD, Gayat L. Major cytogenetic aberration and typical multidrug resistance phenotype of uveal melanoma: current views and new therapeutic prospects. *Cancer Treatment Rev* 2005; 31: 361-379.
2. Duesberg P, Fabarius A, Hehlmann R. The chromosomal basis of cancer. *Cell Onco* 2005; 27: 293-318.
3. Summary Health Statistics for U.S. Adults, National Health Interview Survey, 2004.
4. Baker DJ, Chen J, van Deursen JM. The mitotic checkpoint in cancer and aging: what have mice taught us?. *Curr Opin Cell Biol* 2005; 17: 583-589.
5. Dey P. Aneuploidy and malignancy: an unsolved equation. *J Clin Pathol* 2004; 57: 1254-1249.
6. Yuen K, W, Montpetit B, Hieter P. The kinetochore and cancer: what's the connection?. *Curr Opin. Cell Biol* 2005; 17: 576-582.
7. Cimini D, Degrassi F. Aneuploidy: a matter of bad connections. *Trends in Cell Bio* 2005; 15: 442-451.
8. Duesberg P, Li R, Rasnick D, Charlotte R, Willer A, Kraemer A, Yerganian G, Hehlmann R. 2000, Aneuploidy precedes and segregates with chemical carcinogenesis. *Cancer Genet Cytogenet* 2000; 119: 83-93.
9. Rajagopalan H, Nowak MA, Vogelstein B, Lengauer C. The significance of unstable chromosomes in colorectal cancer. *Nat Rev Cancer* 2003; 3: 695-701.
10. Kobayashi K, Usami I, Kubota M, Nishio T, Kakazu N. Chromosome 7 abnormalities in acute megakaryoblastic leukemia associated with down syndrome. *Cancer Genet Cytogenet* 2005; 158: 184-187.
11. Stewenius Y, Gorunova L, Jonson T, Larsson N, Hoglund M, Mandahl N, Mertens F, Mitelman F, Gisselsson D. Structural and numerical chromosome changes in colon cancer develop through telomere-mediated anaphase bridges, not through mitotic multipolarity. *PANS* 2005; 102: 5541-5546.
12. Bialy H. Aneuploidy and cancer: vintage wine in a new bottle?. *Nat. Biotechnol* 1998; 16(2):137-8.
13. Rasnick D, Duesberg H. How aneuploidy affects metabolic control and causes cancer. *Biochem J* 1999; 340: 621-630.
14. Fabarius A, Hehlmann R, Duesberg P H. Instability of chromosome structure in cancer cells increases exponentially with degrees of aneuploidy, *Cancer Genet. Cytogenet* 2003; 143 (1):59-72.
15. Duesberg P, Li R, Fabarius A, Hehlmann R. Aneuploidy and cancer: from correlation to causation., *Contrib. Microbiol* 2006;13:16-44.
16. Okouneva T, Hill BT, Wilson L, Jordan MA. The effects of vinflunine, vinorelbine, and vinblastine on centromere dynamics. *Mol Cancer Ther* 2003; 2: 427-436.
17. Wendell KL, Wilson L, Jordan MA. Mitotic block in hela cells by vinblastine: ultrastructural changes in kinetochore-microtubule attachment and centrosomes. *J Cell Sci* 1993; 104: 261-274.
18. Dhamodharan R, Jordan MA, Thrower D, Wilson L, Wadsworth P. Vinblastin suppresses dynamics of individual microtubules in living interface cells. *Mol Bio Cell* 1995; 6: 1215-1229.
19. Li R, Hehlmann R, Sachs R, Duesberg P. Chromosomal alterations cause the high rates and wide ranges of drug resistance in cancer cells. *Cancer Genet and Cytogenet* 2005;44-56.
20. Schmid W. The micronucleus test. *Mut R* 1975; 9-15.
21. Hayashi M, Tice RR, Macgregor JT, Anderson D, Blakey DH, Kirsh-Volders M, Oleson FB, Jr, Pacchierotti F, Romagna F, Shimada H. In vivo rodent erythrocyte micronucleus assay. *Mu Res* 1994;293-304.
22. Buchanan BB, Gruissem W, Jones RL. Biochemistry & Molecular Biology of plants.Rockville,Maryland: American Society of Plant Physiologists;2000.
23. Sherwood SW, Sheridan JP, Schimke RT. Induction of apoptosis by the anti-tubulin drug colcemid: Relationship of mitotic checkpoint control to the induction of apoptosis in the Hela S3 cells. *Experimental Cell Res* 1994; 215: 373-379.
24. HosseiniMehr SJ, Tavakoli H, Pourheidari G, Sobhani A, Shafiee A. Radioprotective effects of citrus extract against gamma-irradiation in mouse bone marrow cells. *J Radiat Res* 2003; 44(3): 237-41.
25. Tiku AB, Abraham SK, Kale RK. Eugenol as an in vivo radioprotective agent. *J Radiat Res* 2004; 45 (3): 435-40.
26. Bonatti S, Cavalieri Z, Viaggi S, Abbondandolo A. The analysis of 10 potential spindle poisons for their ability to induce CREST-positive micronuclei in human diploid fibroblasts. *Mutagen* 1992; 7: 111-114.

27. Channarayappa OT, Nath J. Clastogenic and aneuploidogenic effects of cigarette smoke condensate, mitomycin C and vincristine sulfate. *Mutagenesis* 1992; 7: 457-460.
28. Huber R, Salassidis K, Kulka U, Braselmann H, Bauchinger M. Detection of centromeres in vinblastine- and radiation-induced micronuclei of human lymphocytes using FISH with an alpha satellite pancentromeric DNA probe. *Environ Mol Mutagen* 1996; 27(2):105-9.
29. Wakata A, Sasaki MS. Measurement of micronuclei by cytokinesis-block method in cultured Chinese hamster cells: comparison with type and rates of chromosome aberrations. *Mut Res* 1987; 190: 51-57.
30. Ramesh C, Palo AK, Padhy A. Cytogenetic consequences of vinblastine treatment in mouse bone marrow, *Chemotherap* 2004; 50: 171-177.
31. Matsuoka A, Yamazaki N, Suzuki T, Hayashi M, Sofuni T. Evaluation of the micronucleus test using a chinese hamster cell line as an alternative test. *Mut Res* 1993; 272: 223-236.
32. Mac Gregor JT, Casciano D, Muller L. Strategies and testing methods for identifying mutagenic risks. *Mut Res* 2000; 455: 3-20.
33. Gustavino B, Degrassi F, Filippini R, Modesti D, Tanzarella C, Rizzoni M. Mitotic indirect non-disjunction in phytohemagglutinin simulated human lymphocytes. *Mutage* 1994; 9: 17-21.
34. Granetto C, Ottaggio L, Abbondanolo A, Bonatti S.P53 accumulates in micronuclei after treatment with a DNA breaking chemical, methylnitrosourea, and with the spindle poison, vinblastine. *Mutat Res* 1996; 352: 61-64.
35. Nicholl DS, Schloss JA, John PC. Tubulin gene expression in *Chlamydomonas reinhardtii* cell cycle: elimination of environmentally induced artifacts and the measurement of tubulin mRNA levels. *J Cell Sci* 1988; 89: 397-403.
36. Sablina AA, Ilyinskaya GV, Rubtsova SN, Agapova LS, Chumakov PM, Kopnin BP. Activation of p53-mediated cell cycle checkpoint in response to micronuclei formation. *J Cell Sci* 1998; 111: 977-984.